

Chapitre 1. Équations Hamiltoniennes.

Dans tout ce chapitre les ouverts \mathcal{U} sont dans \mathbb{R}^{2n} et on écrit les coordonnées $(q_1 \dots q_n, p_1 \dots p_n)$.

§ 1- Définitions et premiers résultats

Soit $H: \mathcal{U} \rightarrow \mathbb{R}$ une fonction (C^∞).

Def 1: le champ de vecteur Hamiltonien associé à H est

$$X_H = \frac{\partial H}{\partial p_1} \frac{\partial}{\partial q_1} + \frac{\partial H}{\partial p_2} \frac{\partial}{\partial q_2} + \dots + \frac{\partial H}{\partial p_n} \frac{\partial}{\partial q_n} - \frac{\partial H}{\partial q_1} \frac{\partial}{\partial p_1} - \dots - \frac{\partial H}{\partial q_n} \frac{\partial}{\partial p_n}$$

On l'écrit de manière plus concise

$$X_H = \frac{\partial H}{\partial p} \frac{\partial}{\partial q} - \frac{\partial H}{\partial q} \frac{\partial}{\partial p}$$

Ex: Si $V: \mathbb{R}^n \rightarrow \mathbb{R}$ est une fonction (potentielle) on constate $H(q_1 \dots q_n, p_1 \dots p_n) = \frac{1}{2}(p_1^2 + \dots + p_n^2) - V(q_1 \dots q_n)$ et on trouve

$$X_H = p_1 \frac{\partial}{\partial q_1} + \dots + p_n \frac{\partial}{\partial q_n} - \frac{\partial V}{\partial q_1} \frac{\partial}{\partial p_1} - \dots - \frac{\partial V}{\partial q_n} \frac{\partial}{\partial p_n}$$

$\gamma(t)$ est une solution des problèmes de G associé si
 $(q(t), p(t))$ $q_i'(t) = p_i(t)$ et $(p_1'(t), \dots, p_n'(t)) = -\text{grad } V(q_1(t), \dots, q_n(t))$

c'est à dire que l'accélération des q_i est donnée par $-\text{grad } V$. Ces sont les équations de la mécanique classique.

On remarque le premier résultat:

Thm 2: Soit X^H le champ Hamiltonien associé à une fonction $H: \mathcal{U} \rightarrow \mathbb{R}$. Alors $X^H \cdot H = 0$

Thm: On calcule simplement

$$\begin{aligned} X^H \cdot h(q) &= (dH)_{(q_0, p_0)} \left(\sum \frac{\partial H}{\partial p_i} \frac{\partial}{\partial q_i} - \sum \frac{\partial H}{\partial q_i} \frac{\partial}{\partial p_i} \right) \\ &= \sum \frac{\partial H}{\partial p_i} \frac{\partial t}{\partial q_i} - \sum \frac{\partial H}{\partial q_i} \frac{\partial t}{\partial p_i} = 0 \quad \square \end{aligned}$$

Dans H est constante le long des courbes intégrales de X^H .

Un corollaire du théorème 2 du chapitre précédent est

Cor 3: Si H est propre alors le flot de X^H est défini pour tout temps.

S2- Invariant de Poincaré

Soit $H: U \subset \mathbb{R}^{2n} \rightarrow \mathbb{R}$ une fonction lisse. Soit X^H le champ Hamiltonien associé et $f_t^H: U \rightarrow U$ son flot (local).

Le théorème suivant (qui remonte à Poincaré) est la motivation principale de la définition de l'ancienneté symplectique :

Thm 3: Soit x, y deux variables quelconques parmi $(q_1, \dots, q_n, p_1, \dots, p_n)$ alors si $f_t^H(q_1, \dots, q_n, p_1, \dots, p_n) = (a_1^t, \dots, a_n^t, b_1^t, \dots, b_n^t)$ la quantité $\sum_{i=1}^n \left(\frac{\partial a_i^t}{\partial x} \frac{\partial b_i^t}{\partial y} - \frac{\partial b_i^t}{\partial x} \frac{\partial a_i^t}{\partial y} \right)$ ne dépend pas de $t \in \mathbb{I}$.

Dem: Tout d'abord on rappelle que par définition

$$\frac{da_i^t}{dt}(q_1, \dots, q_n, p_1, \dots, p_n) = \frac{\partial H}{\partial p_i}(a_1^t(q, p), \dots, a_n^t(q, p))$$

et donc que $\frac{\partial}{\partial x} \frac{da_i^t}{dt} = \frac{d}{dt} \frac{\partial}{\partial x} a_i^t = \sum_{j=1}^n \frac{\partial^2 H}{\partial p_j \partial q_j} \frac{\partial a_j}{\partial x} + \frac{\partial^2 H}{\partial p_i \partial p_j} \frac{\partial b_j}{\partial x}$

De même on trouve

$$\frac{\partial}{\partial x} \frac{db_i^t}{dt} = \frac{d}{dt} \frac{\partial}{\partial x} b_i^t = \sum_{j=1}^n - \frac{\partial^2 H}{\partial q_j \partial q_i} \frac{\partial b_j}{\partial x} - \frac{\partial^2 H}{\partial q_i \partial p_j} \frac{\partial b_j}{\partial x}$$

On peut vérifier $\frac{d}{dt} \sum_i \left(\frac{\partial q_i}{\partial x} \frac{\partial b_i}{\partial y} - \frac{\partial b_i}{\partial x} \frac{\partial q_i}{\partial y} \right) = 0$

Or $\frac{d}{dt} \sum_i \left(\frac{\partial q_i}{\partial x} \frac{\partial b_i}{\partial y} - \frac{\partial b_i}{\partial x} \frac{\partial q_i}{\partial y} \right) = + \sum_{i=1}^m \frac{d}{dt} \left(\frac{\partial q_i}{\partial x} \right) \frac{\partial b_i}{\partial y} + \frac{\partial q_i}{\partial x} \frac{d}{dt} \left(\frac{\partial b_i}{\partial y} \right) - \frac{d}{dt} \left(\frac{\partial b_i}{\partial x} \right) \frac{\partial q_i}{\partial y} + \frac{\partial b_i}{\partial x} \frac{d}{dt} \left(\frac{\partial q_i}{\partial y} \right)$

$$\begin{aligned} & \sum_{i,j=1}^m \frac{\partial H}{\partial p_j} \frac{\partial q_j}{\partial x} \frac{\partial b_i}{\partial y} + \frac{\partial^2 H}{\partial p_i \partial p_j} \frac{\partial b_j}{\partial x} \frac{\partial b_i}{\partial y} - \frac{\partial^2 H}{\partial q_i \partial q_j} \frac{\partial q_j}{\partial x} \frac{\partial q_i}{\partial y} - \frac{\partial^2 H}{\partial q_i \partial p_j} \frac{\partial b_j}{\partial y} \frac{\partial q_i}{\partial x} \\ & + \cancel{\frac{\partial^2 H}{\partial q_i \partial q_j} \frac{\partial q_j}{\partial x} \frac{\partial q_i}{\partial y}} + \cancel{\frac{\partial^2 H}{\partial q_i \partial p_j} \frac{\partial b_j}{\partial x} \frac{\partial q_i}{\partial y}} - \cancel{\frac{\partial^2 H}{\partial p_i \partial p_j} \frac{\partial q_j}{\partial y} \frac{\partial b_i}{\partial x}} - \cancel{\frac{\partial^2 H}{\partial p_i \partial p_j} \frac{\partial b_j}{\partial y} \frac{\partial b_i}{\partial x}} = 0 \end{aligned}$$

(2)

On introduit la quantité

$$\omega_0: \mathbb{R}^n \times \mathbb{R}^n \rightarrow \mathbb{R} \quad \text{avec } \pi_i: \mathbb{R}^n \rightarrow \mathbb{R}^2$$

$$v, w \mapsto \sum \det \begin{pmatrix} v_i(v), w_i(v) \\ v_i(w), w_i(w) \end{pmatrix} \quad (q_1 \dots q_n, p_1 \dots p_n) \mapsto (q_i, p_i)$$

Alors le théorème 3 implique $\sum (v_i w_i' - v'_i w_i)$

$$\omega_0(v, w) = \omega_0(\det_{(q, p)}^t(v), \det_{(q, p)}^t(w)) \quad \forall (q, p) \in \mathcal{U}$$

En effet cette quantité est linéaire en chaque variable et le théorème 3 donne le résultat sur la base canonique $\left\langle \frac{\partial}{\partial q_1}, \dots, \frac{\partial}{\partial q_n}, \frac{\partial}{\partial p_1}, \dots, \frac{\partial}{\partial p_n} \right\rangle$

Remarque 4: Soit $v = v_1 \frac{\partial}{\partial q_1} + \dots + v_n \frac{\partial}{\partial q_n} + v'_1 \frac{\partial}{\partial p_1} + \dots + v'_n \frac{\partial}{\partial p_n}$

alors $\omega_0(v, X^H V) = \sum w_i \frac{\partial H}{\partial p_i} + v_i \frac{\partial H}{\partial q_i} = dH(v)$

Si V et V' sont tel que $\omega_0(V, W) = \omega_0(V', W) + w$
alors $V = V'$

au chapitre 3 nous étudierons plus en profondeur les aspects linéaires de cette quantité ω_0 .

§ 3 - Transformations symplectiques

Def 5: Soit $\mathcal{U}, \mathcal{U}' \subset \mathbb{R}^n$ deux ouverts et $\varphi: \mathcal{U} \rightarrow \mathcal{U}'$.

φ est dit symplectique si $\forall (q, p) \in \mathcal{U}$ et $v, w \in \mathbb{R}^n$

$$\omega_0(d\varphi_{(q,p)} v, d\varphi_{(q,p)} w) = \omega_0(v, w).$$

On a donc vu que le fil d'un champs de vecteurs hamiltonien était symplectique. On définit

Def 6: Soit $\varphi: \mathcal{U} \rightarrow \mathcal{U}$ un difféomorphisme. φ est dit hamiltonien si il existe $H: I \times \mathbb{R}^n \rightarrow \mathbb{R}$ telle que l'isotopie φ^t définie par le champs non autonome X^{H_t} ($H_t(q, p) = H(t, q, p)$) est telle que

$$\varphi^1 = \varphi.$$

Le m^{me} calcul que précédemment donne

Thm 7: Un difféomorphisme hamiltonien est symplectique

Rem: Nous étudierons plus en profondeur la différence entre difféomorphisme symplectique et hamiltonien.

Les transformations symplectiques changent les champs de vecteurs hamiltoniens de manière cohérente :

Thm 8: Soit $\varphi: \mathcal{U} \rightarrow \mathcal{U}'$ une transformation symplectique
Soit $H: \mathcal{U} \rightarrow \mathbb{R}$ un facteur alors

$$\varphi_* X_H = X_{H \circ \varphi^{-1}}$$

Preuve: On a $\omega_0(\varphi_* X_H, V) = \omega_0(d\varphi_{\varphi^{-1}(q)} X_q(\varphi^{-1}(q)), V)$
 $= \omega_0(X_q(\varphi^{-1}(q)), d\varphi_q^{-1}(V)) = dH_{\varphi^{-1}(q)} H_q^{-1}(V)$
et $\omega_0(X_{H \circ \varphi^{-1}}, V) = d(H \circ \varphi^{-1})_q(V) = \omega_0(X_{H \circ \varphi^{-1}(q)}, V)$

La remarque 4. permet de conclure

□

Cela nous permet de prouver:

Thm 9: Soit U un ouvert de \mathbb{R}^n . Alors $\text{Symp}(U) = \{f: U \rightarrow U \mid f \text{ est symplectique}\}$ est un groupe.

$\text{Ham}(U) = \{f: U \rightarrow U \mid f \text{ est hamiltonien}\}$ est un sous-groupe normal de $\text{Symp}(U)$.

Dém: L'énoncé pour $\text{Symp}(U)$ a été fait.

Pour $\text{Ham}(U)$ on procède comme suit.

Soit $f_t \circ \psi \in \text{Ham}(U)$. Alors $\{\dot{H}_t\}$ et $\{\dot{G}_t\}$ deux isotopies hamiltoniennes engendrées par H_t et G_t respectivement.

On note X_{H_t} et X_{G_t} les champs de vecteurs associés.

Alors l'exercice de la feuille 6 donne que l'isotopie $\{\dot{F}_t \circ \psi_t\}$ est engendrée par $X_{H_t} + (F_t)_* X_{G_t}$.

$$\begin{aligned} \text{Or } \omega_0(X_{H_t} + (F_t)_* X_{G_t}, V) &= \omega(X_{H_t}, V) + \omega((F_t)_* X_{G_t}, V) \\ &= dH_t(V) + d(G_t \circ F_t^{-1})(V) \\ &= \omega_0(X_{H_t + G_t \circ F_t^{-1}}, V). \end{aligned}$$

Donc $\{\dot{F}_t \circ \psi_t\}$ est engendrée par la fonction $H_t + G_t \circ F_t^{-1}$ et donc $F_t \circ \psi$ est hamiltonien.

De même $\{\dot{F}_t^{-1}\}$ est engendré par $-X_{H_t} - (F_t^{-1})_* X_{G_t}$.

$$\begin{aligned} \text{Or } \omega_0(-X_{H_t} - (F_t^{-1})_* X_{G_t}, V) &= -d(H_t \circ F_t)(V) \\ &= \omega_0(-X_{H_t \circ F_t}, V) \end{aligned}$$

et donc $\{\dot{F}_t^{-1}\}$ est engendrée par $-H_t \circ F_t$ et donc $F_t^{-1} \in \text{Ham}(U)$.

Pour la normalité de $\text{Ham}(U)$ on se donne $f \in \text{Ham}(U)$ engendré par H_t et $\psi \in \text{Symp}(U)$

C^{14} isotopic $\Delta \phi_{\text{top}}$ satisfies

$$\frac{d}{dt} \Big|_{t=t_0} (\psi \circ f_t \circ \psi^{-1})(q) = d\psi \Big|_{\psi(q)} (X_{f_{t_0}}^{(t_0)}(\psi^{-1}(q)))$$

$$cb \quad w_0 \left(d\psi \left(x_{Ht_0}(\ell_t(\psi^{-1}(q)), v) \right. \right.$$

$\left. \left. - \ell_t(\psi(q)) \right)$

$$\rightarrow = \omega_0 \left(x_{H_{t_0}}(f_{t_0}(\psi^{-1}(q)), (d \frac{\psi}{f_{t_0} \circ \psi^{-1}(q)}(v)) \right)$$

ψ symplectique

$$= (dH_{t_0})_{\varphi_{t_0} \circ \psi^{-1}(q)} (d\tau_{t_0 \circ \psi^{-1}(q)})^*(v) = (dH_{t_0})_{\varphi_{t_0} \circ \psi^{-1}(q)} (dy^{-1})_{\psi \circ \varphi_{t_0} \circ \psi^{-1}}(v)$$

$$= d(h_{t_0} \circ \psi^t)_{\psi(t_0) = \psi^{-1}(q)} \quad (V)$$

$$= w_0 \left(X_{K_0^0 \circ \psi}^{(\psi_0 K_0^0 \circ \varphi_0)} v \right) \text{ et donc } \{ \psi_0 \circ \varphi_0^{-1} \}$$

est engendrée par $X_{H_0} \circ \mu^{-1}cb$ dans $\mathcal{Y}_0 \otimes \mathcal{Y}'$ (Thm (ii))

§ 3 - Examples:

a) "Transformé de légende"

Transformée de Legendre

$$(q_1, \dots, q_n, p_1, \dots, p_n) \rightarrow (-p_1, \dots, -p_n, q_1, \dots, q_n)$$

est Hamiltonienne engendrée par

$$H(q_1, \dots, q_n, p_1, \dots, p_n) = -(q_1^2 + \dots + q_n^2 + p_1^2 + \dots + p_n^2)$$

En effet a-t-on vu

$$X_N = \sum_i \left(-p_i \frac{\partial}{\partial q_i} + q_i \frac{\partial}{\partial p_i} \right)$$

$$\frac{F}{E} = \rho$$

② "Symplectification de difféomorphismes"

Soit $f: U \subset \mathbb{R}^n \rightarrow V \subset \mathbb{R}^m$.

On définit $\tilde{f}: U \times \mathbb{R}^n \rightarrow U \times \mathbb{R}^m$
 $(q, v) \mapsto (f(q), (\text{df}_q^{-1})^T v)$

On calcule

$$d\tilde{f}_{q,v}((w_0, w_1)) = (d\tilde{f}_q(w_0), (d_2 f_q^{-1}(w_0))^T v + (d f_{f(q)}^{-1})^T w_1)$$

et donc

$$\omega_0(d\tilde{f}_{q,v}((w_0, w_1)), d\tilde{f}_{q,v}(w_0', w_1'))$$

$$\begin{aligned} &= \langle d_2 f_q^{-1}(w_0')^T v, d f_q(w_0) \rangle + \langle (d f_{f(q)}^{-1})^T w_1', d f_q(w_0) \rangle \\ &\quad - \langle d_2 f_q^{-1}(w_0')^T v, d f_q(w_0') \rangle - \langle (d f_{f(q)}^{-1})^T w_1', d f_q(w_0') \rangle \\ &= \langle v, d_2 f_q^{-1}(w_0'), d f_q(w_0) \rangle + \langle w_1', w_0 \rangle \\ &\quad - \langle v, d_2 f_q^{-1}(d f_q(w_0), d f_q(w_0')) \rangle - \langle w_1', w_0' \rangle \\ &= \omega_0((w_0, w_1), (w_0', w_1')) \end{aligned}$$

et donc \tilde{f} est symplectique

③ Une raison plus naturelle

Le symplectomorphisme précédent (et en fait toute la géométrie symplectique) devient plus naturel si on identifie $\mathbb{R}^n \cong \mathbb{R}^n \times (\mathbb{R}^n)^*$ avec $(p_1, \dots, p_m)(q_1, \dots, q_n) = \sum_{i=1}^n p_i \cdot q_i$.

$$\text{Alors } \omega_0((v_0, \alpha_0), (v_1, \alpha_1)) = \alpha_1(v_0) - \alpha_0(v_1)$$

$$\text{Ainsi si } f: U \subset \mathbb{R}^n \times (\mathbb{R}^n)^* \rightarrow V \subset \mathbb{R}^m \times (\mathbb{R}^m)^*$$

abes $dP_{(q,\alpha)}: \mathbb{R}^m \times (\mathbb{R}^*)^n \rightarrow \mathbb{R}^n \times (\mathbb{R}^*)^n$

et la condition symplectique devient

$$\omega_0(dP_{(q,\alpha)}(V_0, \alpha_0), dP_{(q,\alpha)}(V_1, \alpha_1)) = \alpha_1(V_0) - \alpha_0(V_1)$$

Ainsi si $f: U \subset \mathbb{R}^n \rightarrow U' \subset \mathbb{R}^m$ est un difféomorphisme

$\tilde{f}: \mathcal{U} \times (\mathbb{R}^*)^n \rightarrow \mathcal{U}' \times (\mathbb{R}^*)^m$ est symplectique.
 $q, \alpha \mapsto (f(q), (df_q^{-1})^\ast \alpha)$

② Sym. Transformation symplectique en dimension 2

Lemma 10: Soit $f: [0,1] \times [0,1] \rightarrow \mathcal{U} \subset \mathbb{R}^2$ un difféomorphisme

abes $\exists \psi: [0,1] \times [0,1] \rightarrow \mathcal{U}' \subset \mathbb{R}^2$ t.q.

$\psi \circ f$ est symplectique.

Dém: On note $h(x,y) = \det df_{(x,y)}$.

On suppose $h(x,y) > 0$ (sinon on remplace f par $f \circ s$ où $s(x,y) = (x, -y)$)

Soit $\psi: [0,1] \times [0,1] \rightarrow \mathbb{R}^2$
 $x, y \mapsto (x, \int_0^y \frac{1}{h(t,s)} dt)$

abes $d(\psi \circ f) = d\psi_{(x,y)} \circ df_{(x,y)}$ et donc

$\det d\psi \circ f = 1 \Rightarrow \psi \circ f$ est symplectique. \square

54- Variétés symplectiques.

On obtient maintenant notre première définition de variétés symplectiques. Ce sont des espaces qui localement ressemblent à \mathbb{R}^{2n} et tel que les changement de point de vue soient symplectiques

Définition 11: Un espace topologique Hausdorff ^{Hausdorff} et une variété ^{me variété} est dit symplectique

si $\exists (U_i)_{i \in I}$ ouvert ^{ouvert} de M t.q.

① $\forall q \in M \exists i_0$ q.e U_{i_0} ($\{U_i\}$ recouvre M)

② $\forall i \exists \varphi_i: U_i \xrightarrow{\text{homeo.}} V_i \subset \mathbb{R}^{2n}$

③ $\forall i, j \quad \varphi_{ij}: \varphi_i(U_i \cap U_j) \xrightarrow{\varphi_{ij} \text{ op.}} \varphi_j(U_i \cap U_j)$ est symplectique

Définition 12: La collection $\{U_i\}$ de la définition précédente

est appellée un atlas symplectique. Un couple $\{(U_i, \varphi_i)\}$ ^{une carte}

Deux atlas $\{(U_i, \varphi_i)\}$ et $\{(U'_i, \varphi'_i)\}$ sont équivalents

si $\{(U_i, \varphi_i)\} \cup \{(U'_i, \varphi'_i)\}$ est un atlas symplectique.

Une structure symplectique est une classe d'équivalence d'atlas symplectiques.

Note: Si M est une variété symplectique alors elle est munie d'une topologie uniquement déterminée par

U_i est ouvert

$i \in \mathbb{N}$.

on demande que φ_i est un homéomorphisme
 avec cette topologie M est un espace Hausdorff, séparable et paracompact.

Définition 13: Une bijection $\varphi: M \rightarrow M'$ entre deux variétés symplectiques est un symplectomorphisme si:

$\forall (U_i, \varphi_i)$ carte de M et (U'_j, φ'_j) carte de M'

$\varphi: U_i \cap \varphi^{-1}(U'_j) \xrightarrow{\varphi} \varphi(U_i) \cap U'_j$

$\varphi_{ij} = \varphi \circ \varphi_i^{-1} \circ \varphi_j$

$\varphi_{ij}: (\varphi(U_i) \cap \varphi(U'_j)) \xrightarrow{\text{symplectique}} \varphi(U_i) \cap U'_j$

~~abs $\alpha_f^{(q,\alpha)} : \mathbb{R}^n \times (\mathbb{R}^n)^* \rightarrow \mathbb{R} \times (\mathbb{R}^*)^*$~~

~~et la condition symplectique est~~

~~$$\omega_0(\alpha_f(v_0, \alpha), \alpha_f(v_1, \alpha)) = \alpha_1(v_0) - \alpha_0(v_1)$$~~

~~Si $f : M \subset \mathbb{R}^n \rightarrow M' \subset \mathbb{R}^{n'}$ alors~~

~~$$(\alpha_f)^* : \mathbb{R}^{n'} \rightarrow \mathbb{R}^n \quad \text{à son dual } (\alpha_f^{-1})^* : \mathbb{R}^n \rightarrow \mathbb{R}^{n'}$$~~

~~et la construction précédente est~~

~~$$\tilde{\alpha}_f : \mathcal{U} \times (\mathbb{R}^n)^* \rightarrow \mathcal{U}' \times (\mathbb{R}^{n'})^*$$

$$(q, \alpha) \mapsto (f(q), (\alpha_f^{-1})^* \alpha)$$~~

Comme dans le cas des ouverts de \mathbb{R}^n , les fonctions sont des sources de symplectomorphismes. En effet soit $H : \mathbb{T}^1 \rightarrow \mathbb{R}$ une fonction $+q$. $(\mu_i, p_i)_{H \circ f_i}$

est C^∞ . Soit $q \in \mathbb{T}^1$ on regarde appelle

la droite $\gamma(t) : (-\varepsilon, \varepsilon) \rightarrow \mathbb{T}^1$ trajectoire hamiltonienne de H partant de q la courbe $+q$.

$$\left\{ \begin{array}{l} \frac{d}{dt} |_{t=0} f_i(\gamma(t)) = X_{H \circ f_i} \\ \gamma(0) = q \end{array} \right.$$

obtenu avec l'exercice 8 du chapitre 0

Remarque : le théorème 8 implique que le problème est bien posé : il ne dépend pas du choix de la courbe (μ_i, p_i) .

Une fois que vous aurez vu la notion de champs de vecteurs sur les variétés, ce sera que le vecteur $X_q(q)$ défini par $X_{H \circ f_i}(p_i(q))$ est un champ de vecteur sur \mathbb{T}^1 . Ce champ

est appelé le champ Hamiltonien associé à H .

Si γ_q les courbes intégrales sont définies sur $\mathbb{R} \setminus \{0\}$ alors on définit $\varphi_t : M \rightarrow M$ le flow (ou déflow) $q \mapsto \varphi_t(q)$ pour $t \in [-1, 1]$

le théorème 3 donne que c'est un otomorphisme symplectique.

De plus si $H : I \times M \rightarrow \mathbb{R}$ alors on construit une isotopie $\{\varphi_t\}$ comme précédemment. Les symplectomorphismes ainsi que ainsi sont appelés les diffeomorphismes Hamiltoniens de M .

On note $Symp(M) = \{\varphi : M \rightarrow M\}$ ^{symp} symplectomorphisme
et $Ham(M) = \{\varphi : M \rightarrow M\}$ ^{diff} diffeomorphisme _{Hamiltonien}

a a

Thm 14

$Symp(M)$ est un groupe et $Ham(M)$ est un sous-groupe normal de $Symp(M)$.

On pourrait résumer que la topologie symplectique prend son origine dans l'étude des liens entre certaines propriétés de symplectomorphismes ou difféomorphismes Hamiltoniens à la topologie de M et de ses sous-variétés.

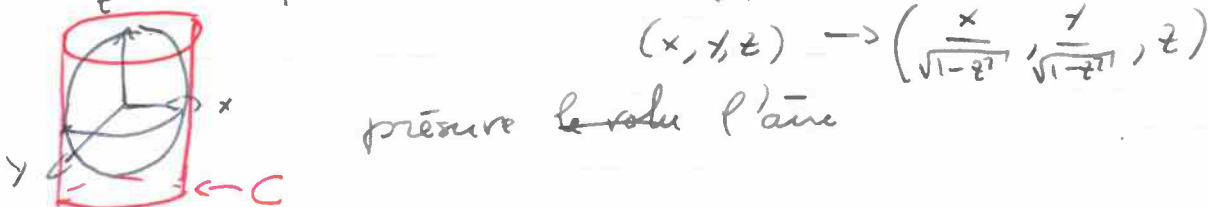
Au chapitre 3 nous verrons une définition plus manipulable de variétés symplectiques. Pour l'instant nous allons nous convaincre que celle-ci est peu pratique en étudiant quelques exemples.

§ 5 - Premiers exemples

a) la sphère (Archimède)

$$\text{Soit } S^2 = \{(x, y, z) \in \mathbb{R}^3 \mid x^2 + y^2 + z^2 = 1\}$$

Archimède remarque que $\rho: S^2 \setminus \{(0,0, \pm 1)\} \rightarrow \mathbb{C}$



en "étendant" C sur \mathbb{R}^2 on obtient des cartes

$$U_z = \left\{ (x, y, z) \in S^2 \mid \begin{array}{l} z \neq \pm 1 \\ x \neq 0 \\ y \neq 0 \end{array} \right\}$$

$$U'_z = \left\{ (x, y, z) \in S^2 \mid \begin{array}{l} z = \pm 1 \\ x = 0 \\ y > 0 \end{array} \right\}$$

avec des applications

$$\varphi_z: U_z \rightarrow \mathbb{R}^2$$

$$(x, y, z) \rightarrow (\arccos(\frac{x}{\sqrt{1-z^2}}), z)$$

$$\varphi'_z: U'_z \rightarrow \mathbb{R}^2$$

$$(x, y, z) \rightarrow (\arcsin(\frac{y}{\sqrt{1-z^2}}), z)$$

on définit de même

$$U_x = \left\{ (x, y, z) \in S^2 \mid \begin{array}{l} x \neq \pm 1 \\ z \neq 0 \end{array} \right\} \text{ et } U'_x = \left\{ (x, y, z) \mid \begin{array}{l} x = \pm 1 \\ z > 0 \end{array} \right\}$$

$$\text{et } U_y = \left\{ (x, y, z) \in S^2 \mid \begin{array}{l} y \neq \pm 1 \\ x > 0 \end{array} \right\} \text{ et } U'_y = \left\{ (x, y, z) \mid \begin{array}{l} y = \pm 1 \\ z > 0 \end{array} \right\}$$

d'où que les applications $\varphi_{x*}^{(*)}$ similaires

Un calcul basique montre que les transformations de transition
sont préservent toute la surface.

- Pour passer de φ_t à φ_t' ~ effectuer une translation
- Pour passer par exemple de φ_x à φ_z on a

$$\psi_{x,z}: (-1,1) \times (0,\pi) \rightarrow (0,\pi) \times (-1,1)$$

$$(u,v) \rightarrow \left(\arccos\left(\frac{u}{\sqrt{\sin^2 u + v^2}}\right), \sqrt{1-u^2} \cos v \right)$$

en effet $\varphi_x(x,y,z) = \left(x, \arccos\left(\frac{z}{\sqrt{1-x^2}}\right) \right)$

$$\varphi_z(x,y,z) = \arccos\left(\frac{x}{\sqrt{1-z^2}}\right), z)$$

et donc $\psi_{x,z} = \varphi_z \circ \varphi_x^{-1}$

sa jacobienne est

$$J\psi_{x,z} = \begin{pmatrix} -\frac{\sin v}{(\sin^2 v + u^2 \cos^2 v)\sqrt{1-u^2}} & +\frac{u \cos v \sqrt{1-u^2}}{\sin^2 v + u^2 \cos^2 v} \\ -\frac{u}{\sqrt{1-u^2}} \cos v & -\sqrt{1-u^2} \sin v \end{pmatrix}$$

qui a déterminant 1.

Rem. évidemment Archimède n'a pas aussi steyerck et en plus ne connaît pas la dérivée de \arccos . Il remarque que l'aire



est $2\pi(z_1 - z_0)$ et

raisonnée par symétrie.

Ce calcul n'a pour but que de montrer que notre définition de variété symplectique n'est pas facile à manipuler mais certes....

⑥ "Catagory"

Soit M une variété. Soit $\{(M_i, \varphi_i)\}$ un atlas.

On considère

Soit $\bar{P}_{ij}: T_i(U_i) \times (\mathbb{R}^n)^* \rightarrow \ell_j(U_i \cap U_j) \times (\mathbb{R}^n)^*$

les applications de §3 c).

Alors $T^*Q = \bigcup_{U_i} U_i \times (\mathbb{R}^n)^*$

$$(x, \alpha) \sim \bar{P}_{ij}(x, \alpha)$$

avec un atlas évident est symplectique.

C'est le fibré cotangent de Q .

On y reviendra...

c) "Surface orientable"

Soit Σ une surface orientable, c.a.d

Il existe un atlas (U_i, φ_i) tel que $\varphi_i(U_i) \subset \mathbb{R}^2$ et

$$\det(d\varphi_{ij}) > 0$$

On a

Lemma 15: Il existe $f_i: \varphi_i(U_i) \rightarrow \mathbb{R}_+ + q$ tel que

$$\det(d\varphi_{ij}) = \frac{f_i(q)}{f_j(\varphi_{ij}(q))}$$

L'existence de ces fonctions nous permet de construire un atlas symplectique:

Soit $\psi_i: \varphi_i(U_i) \rightarrow U_i + q$. $\det d\psi_{ij} = \frac{f_i(q)}{f_j(\varphi_{ij}(q))} f_i(q)$

et soit garanti par §3 d) (on suppose que $\varphi_i(U_i) = [0, 1] \times (0, 1)$)

alors $(U_i, \psi_i \circ \varphi_i)$ est un nouvelle atlas tel que

$$\det(\psi_j \circ \varphi_i \circ \varphi_i^{-1} \circ \psi_i^{-1}) = \det d\psi_j(\varphi_{ij} \circ \varphi_i^{-1}(q)) \cdot \det d\varphi_{ij}(q) \cdot \det d\psi_i(q)$$

$$= \frac{1}{f_{ij}} (f_{ij}(\psi_i^{-1}(q)) \cdot \det df_{ij}(\psi_i^{-1}(q))) \cdot \frac{1}{f_i(\psi_i^{-1}(q))}$$

= 1 par hypothèse.

On prouve maintenant le lemme 15:

Preuve (idée) On procède de proche ~ proche si

$\{f_j\}_{j=1}^n$ est définie sur $M \setminus \{q_j\}$ et définis f_{ij} ,
par extension. La remarque $\det(\psi_{jh}) \cdot \det(\psi_{ij}) = \det(\psi_{ih})$
montre qu'il n'y a pas de contradiction.

Les détails sur la bonne chose des f_i de sorte que cette
extension soit possible est laissé en ~~exercice~~ exercice.

5

On procède maintenant à une étude plus approfondie
de l'application bilinéaire w_0